

### Höchstzulässige Werte / maximum rated values

#### Elektrische Eigenschaften / electrical properties

Kollektor Emitter Sperrspannung collector emitter voltage	$T_{vj}= 25^{\circ}\text{C}$	$V_{CES}$	1200	V
Kollektor Dauergleichstrom DC collector current	$T_c= 80^{\circ}\text{C}$ $T_c= 25^{\circ}\text{C}$	$I_{C, nom}$ $I_C$	35 55	A A
Periodischer Kollektor Spitzenstrom repetitive peak collector current	$t_p= 1\text{ms}, T_c= 80^{\circ}\text{C}$	$I_{CRM}$	70	A
Gesamt Verlustleistung total power dissipation	$T_c= 25^{\circ}\text{C}$	$P_{tot}$	200	W
Gate Emitter Spitzenspannung gate emitter peak voltage		$V_{GES}$	$\pm 20$	V
Dauergleichstrom DC forward current		$I_F$	35	A
Periodischer Spitzenstrom repetitive peak forward current	$t_p= 1\text{ms}$	$I_{FRM}$	70	A
Grenzlastintegral $I^2t$ value	$V_R= 0\text{V}, t_p= 10\text{ms}, T_{vj}= 125^{\circ}\text{C}$	$I^2t$	300	$\text{A}^2\text{s}$
Isolations Prüfspannung insulation test voltage	RMS, $f= 50\text{Hz}, t= 1\text{min}$	$V_{ISOL}$	2,5	kV

### Charakteristische Werte / characteristic values

#### Transistor Wechselrichter / transistor inverter

			min.	typ.	max.	
Kollektor Emitter Sättigungsspannung collector emitter saturation voltage	$V_{GE}= 15\text{V}, T_{vj}= 25^{\circ}\text{C}, I_C= I_{C, nom}$	$V_{CESat}$	-	1,7	2,15	V
	$V_{GE}= 15\text{V}, T_{vj}= 125^{\circ}\text{C}, I_C= I_{C, nom}$		-	2,0	-	V
Gate Schwellenspannung gate threshold voltage	$V_{CE}= V_{GE}, T_{vj}= 25^{\circ}\text{C}, I_C= 1,5\text{mA}$	$V_{GE(th)}$	5,0	5,8	6,5	V
Gateladung gate charge	$V_{GE}= -15\text{V}...+15\text{V}$	$Q_G$	-	0,33	-	$\mu\text{C}$
Eingangskapazität input capacitance	$f= 1\text{MHz}, T_{vj}= 25^{\circ}\text{C}, V_{CE}= 25\text{V}, V_{GE}= 0\text{V}$	$C_{ies}$	-	2,5	-	nF
Rückwirkungskapazität reverse transfer capacitance	$f= 1\text{MHz}, T_{vj}= 25^{\circ}\text{C}, V_{CE}= 25\text{V}, V_{GE}= 0\text{V}$	$C_{fes}$	-	0,09	-	nF
Kollektor Emitter Reststrom collector emitter cut off current	$V_{CE}= 1200\text{V}, V_{GE}= 0\text{V}, T_{vj}= 25^{\circ}\text{C}$	$I_{CES}$	-	-	5	mA
Gate Emitter Reststrom gate emitter leakage current	$V_{CE}= 0\text{V}, V_{GE}= 20\text{V}, T_{vj}= 25^{\circ}\text{C}$	$I_{GES}$	-	-	400	nA

prepared by: M. Münzer

date of publication: 2002-03-04

approved: M. Hierholzer

revision: 3

### Charakteristische Werte / characteristic values

#### Transistor Wechselrichter / transistor inverter

			min.	typ.	max.	
Einschaltverzögerungszeit (induktive Last) turn on delay time (inductive load)	$I_C = I_{C, nom}$ , $V_{CC} = 600V$ $V_{GE} = \pm 15V$ , $R_G = 27\Omega$ , $T_{vj} = 25^\circ C$	$t_{d, on}$	-	85	-	ns
	$V_{GE} = \pm 15V$ , $R_G = 27\Omega$ , $T_{vj} = 125^\circ C$		-	90	-	ns
Anstiegszeit (induktive Last) rise time (inductive load)	$I_C = I_{C, nom}$ , $V_{CC} = 600V$ $V_{GE} = \pm 15V$ , $R_G = 27\Omega$ , $T_{vj} = 25^\circ C$	$t_r$	-	30	-	ns
	$V_{GE} = \pm 15V$ , $R_G = 27\Omega$ , $T_{vj} = 125^\circ C$		-	45	-	ns
Abschaltverzögerungszeit (induktive Last) turn off delay time (inductive load)	$I_C = I_{C, nom}$ , $V_{CC} = 600V$ $V_{GE} = \pm 15V$ , $R_G = 27\Omega$ , $T_{vj} = 25^\circ C$	$t_{d, off}$	-	420	-	ns
	$V_{GE} = \pm 15V$ , $R_G = 27\Omega$ , $T_{vj} = 125^\circ C$		-	520	-	ns
Fallzeit (induktive Last) fall time (inductive load)	$I_C = I_{C, nom}$ , $V_{CC} = 600V$ $V_{GE} = \pm 15V$ , $R_G = 27\Omega$ , $T_{vj} = 25^\circ C$	$t_f$	-	65	-	ns
	$V_{GE} = \pm 15V$ , $R_G = 27\Omega$ , $T_{vj} = 125^\circ C$		-	90	-	ns
Einschaltverlustenergie pro Puls turn on energy loss per pulse	$I_C = I_{C, nom}$ , $V_{CC} = 600V$ , $L_\sigma = 70nH$ $V_{GE} = \pm 15V$ , $R_G = 27\Omega$ , $T_{vj} = 125^\circ C$	$E_{on}$	-	3,5	-	mJ
Ausschaltverlustenergie pro Puls turn off energy loss per pulse	$I_C = I_{C, nom}$ , $V_{CC} = 600V$ , $L_\sigma = 70nH$ $V_{GE} = \pm 15V$ , $R_G = 27\Omega$ , $T_{vj} = 125^\circ C$	$E_{off}$	-	4,8	-	mJ
Kurzschlussverhalten SC data	$t_p \leq 10\mu sec$ , $V_{GE} \leq 15V$ , $T_{vj} \leq 125^\circ C$ $V_{CC} = 900V$ , $V_{CEmax} = V_{CES} - L_{\sigma CE} \cdot di/dt$	$I_{SC}$	-	140	-	A
Modulinduktivität stray inductance module		$L_{\sigma CE}$	-	19	-	nH
Leitungswiderstand, Anschluss-Chip lead resistance, terminal-chip	$T_c = 25^\circ C$	$R_{CC/EE}$	-	2,5	-	m $\Omega$

### Charakteristische Werte / characteristic values

#### Diode Wechselrichter / diode inverter

Durchlassspannung forward voltage	$I_F = I_{C, nom}$ , $V_{GE} = 0V$ , $T_{vj} = 25^\circ C$	$V_F$	-	1,65	2,15	V
	$I_F = I_{C, nom}$ , $V_{GE} = 0V$ , $T_{vj} = 125^\circ C$		-	1,65	-	V
Rückstromspitze peak reverse recovery current	$I_F = I_{C, nom}$ , $-di_F/dt = 1500A/\mu s$ $V_R = 600V$ , $V_{GE} = -15V$ , $T_{vj} = 25^\circ C$	$I_{RM}$	-	49	-	A
	$V_R = 600V$ , $V_{GE} = -15V$ , $T_{vj} = 125^\circ C$		-	51	-	A
Sperrverzögerungsladung recovered charge	$I_F = I_{C, nom}$ , $-di_F/dt = 1500A/\mu s$ $V_R = 600V$ , $V_{GE} = -15V$ , $T_{vj} = 25^\circ C$	$Q_r$	-	3,7	-	$\mu C$
	$V_R = 600V$ , $V_{GE} = -15V$ , $T_{vj} = 125^\circ C$		-	6,8	-	$\mu C$
Ausschaltenergie pro Puls reverse recovery energy	$I_F = I_{C, nom}$ , $-di_F/dt = 1500A/\mu s$ $V_R = 600V$ , $V_{GE} = -15V$ , $T_{vj} = 25^\circ C$	$E_{rec}$	-	1,4	-	mJ
	$V_R = 600V$ , $V_{GE} = -15V$ , $T_{vj} = 125^\circ C$		-	2,7	-	mJ

### Charakteristische Werte / characteristic values

NTC-Widerstand / NTC-thermistor

			min.	typ.	max.	
Nennwiderstand rated resistance	$T_c = 25^\circ\text{C}$	$R_{25}$	-	5	-	k $\Omega$
Abweichung von $R_{100}$ deviation of $R_{100}$	$T_c = 100^\circ\text{C}$ , $R_{100} = 493\Omega$	$\Delta R/R$	-5	-	5	%
Verlustleistung power dissipation	$T_c = 25^\circ\text{C}$	$P_{25}$	-	-	20	mW
B-Wert B-value	$R_2 = R_1 \exp[B(1/T_2 - 1/T_1)]$	$B_{25/50}$	-	3375	-	K

### Thermische Eigenschaften / thermal properties

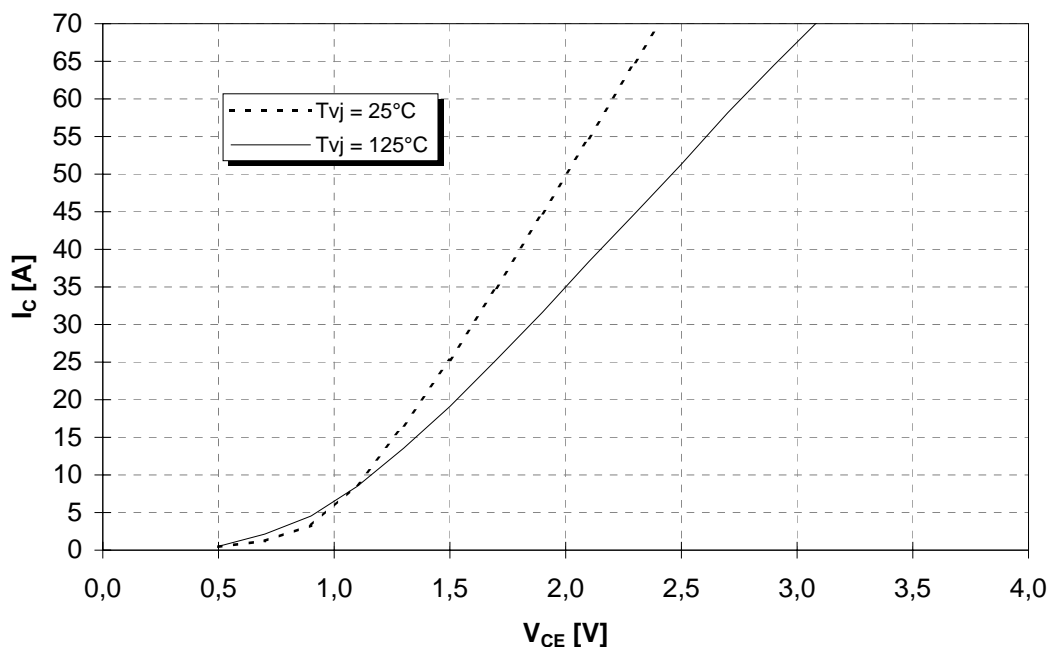
			-	-	0,60	K/W
			-	-	0,95	K/W
Übergangs Wärmewiderstand thermal resistance, case to heatsink	pro Modul / per module $\lambda_{\text{paste}} = 1\text{W/m}^2\text{K}$ / $\lambda_{\text{grease}} = 1\text{W/m}^2\text{K}$	$R_{\text{thCK}}$	-	0,02	-	K/W
Höchstzulässige Sperrschichttemp. maximum junction temperature		$T_{\text{vjmax}}$	-	-	150	$^\circ\text{C}$
Betriebstemperatur operation temperature			-40	-		

Gehäuse, siehe Anlage case, see appendix						
Innere Isolation internal insulation				$\text{Al}_2\text{O}_3$		
Kriechstrecke creepage distance				10		mm
Luftstrecke clearence				7,5		mm
CTI comperative tracking index				225		
	Schraube M 5 screw M 5	M	3	-	6	
Gewicht weight		G		180		g

Mit dieser technischen Information werden Halbleiterbauelemente spezifiziert, jedoch keine Eigenschaften zugesichert. Sie gilt in Verbindung mit den zugehörigen technischen Erläuterungen.

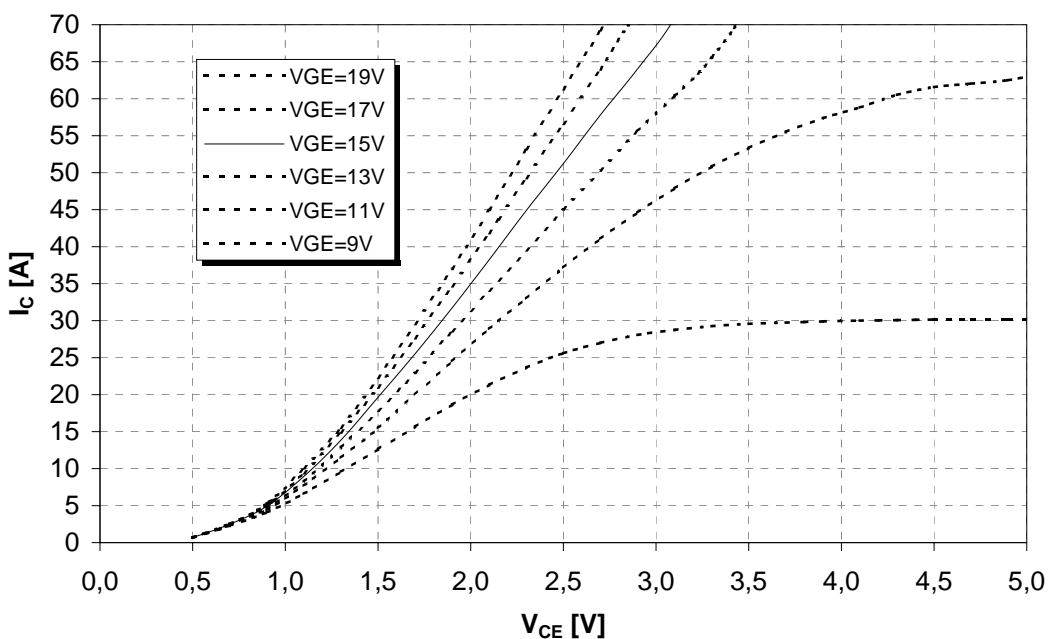
**Ausgangskennlinie (typisch)**  
**output characteristic (typical)**

$I_C = f(V_{CE})$   
 $V_{GE} = 15V$



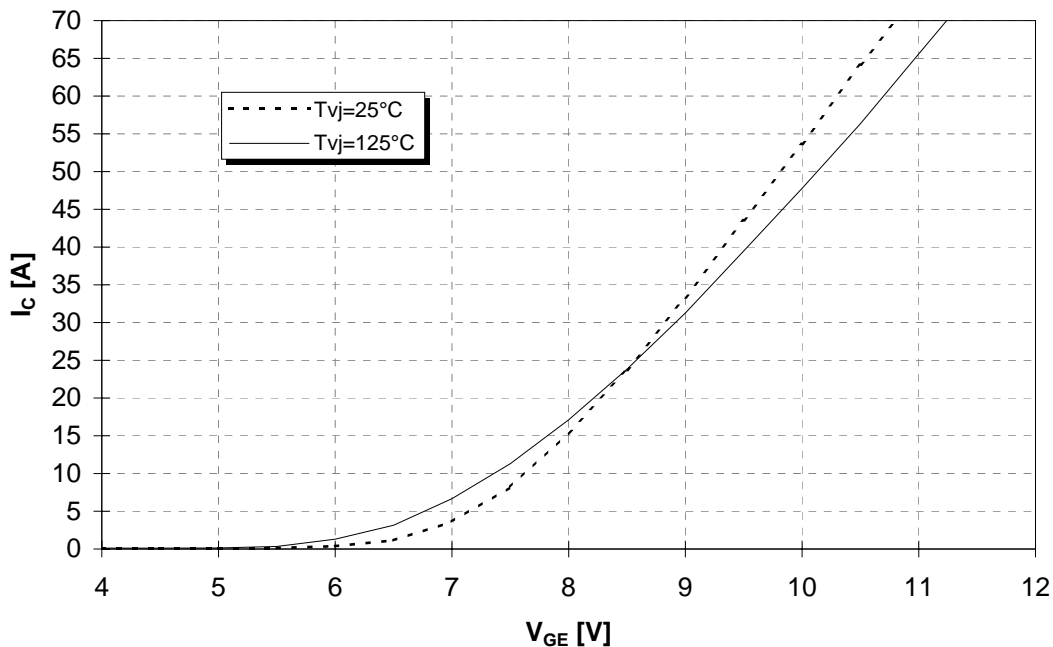
**Ausgangskennlinienfeld (typisch)**  
**output characteristic (typical)**

$I_C = f(V_{CE})$   
 $T_{vj} = 125^\circ C$



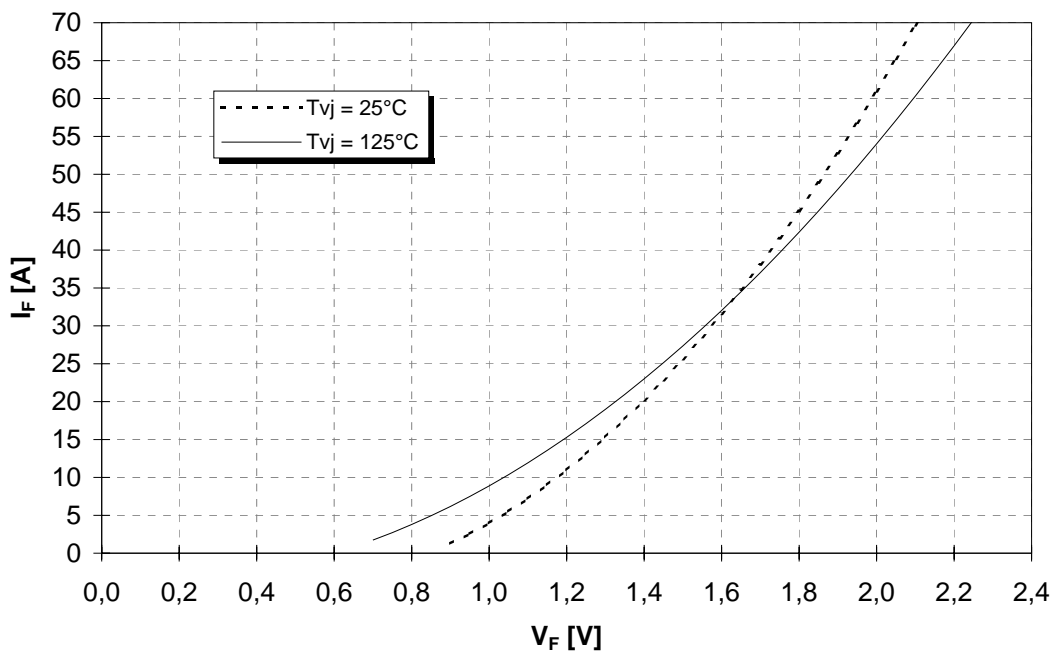
Übertragungscharakteristik (typisch)  
transfer characteristic (typical)

$I_C = f(V_{GE})$   
 $V_{CE} = 20V$



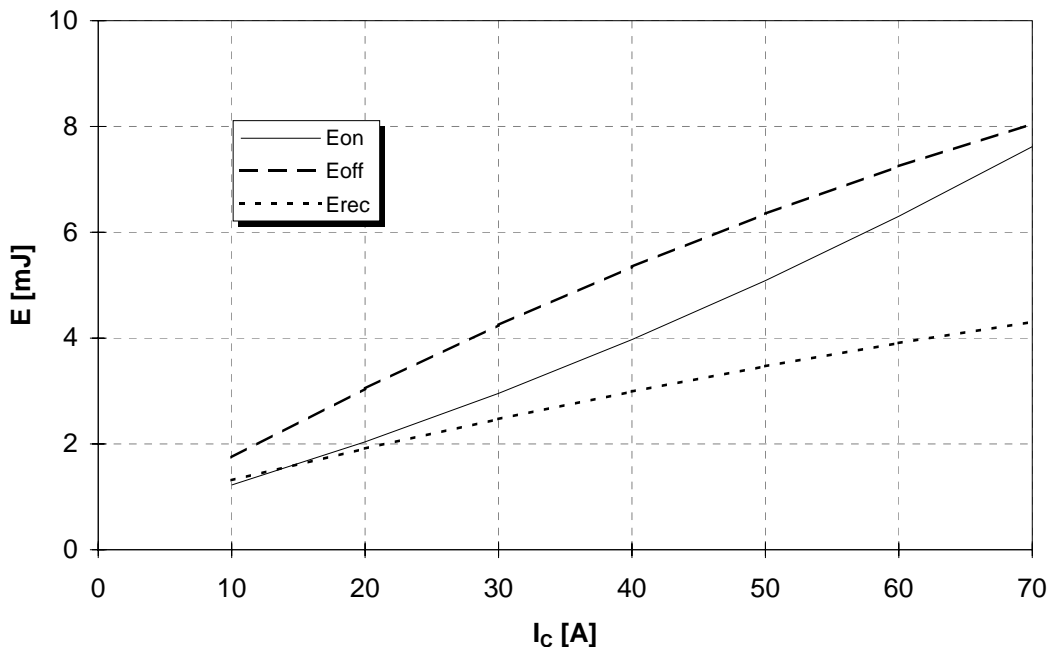
Durchlasskennlinie der Inversdiode (typisch)  
forward characteristic of inverse diode (typical)

$I_F = f(V_F)$



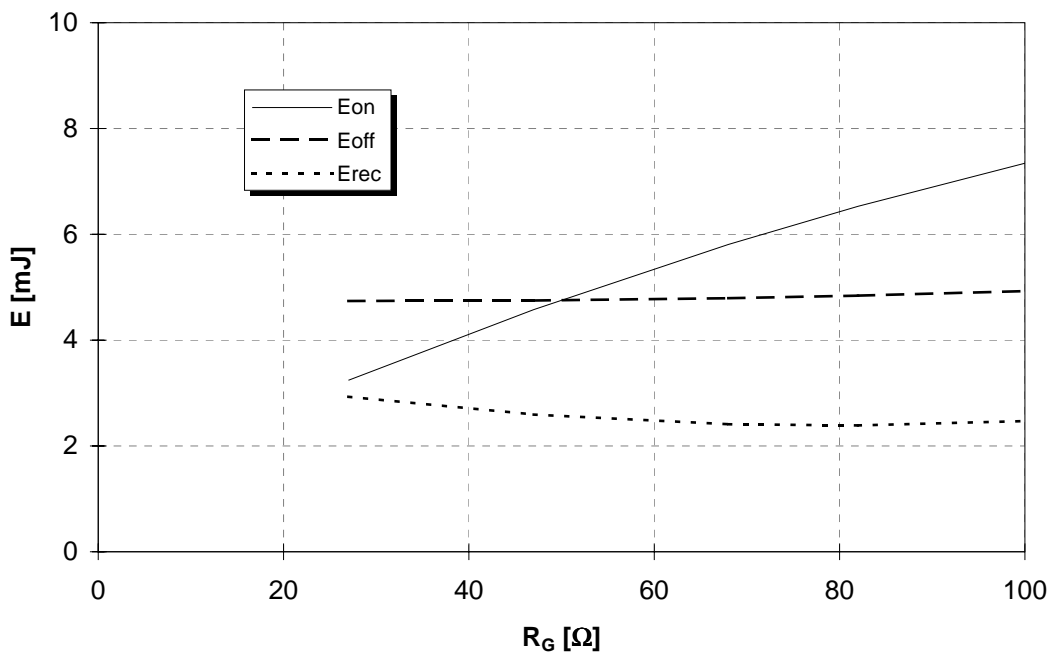
Schaltverluste (typisch)  
Switching losses (typical)

$E_{on} = f(I_C)$ ,  $E_{off} = f(I_C)$ ,  $E_{rec} = f(I_C)$   
 $V_{GE} = 15V$ ,  $R_{Gon} = R_{Goff} = 27\Omega$ ,  $V_{CE} = 600V$ ,  $T_{vi} = 125^\circ C$



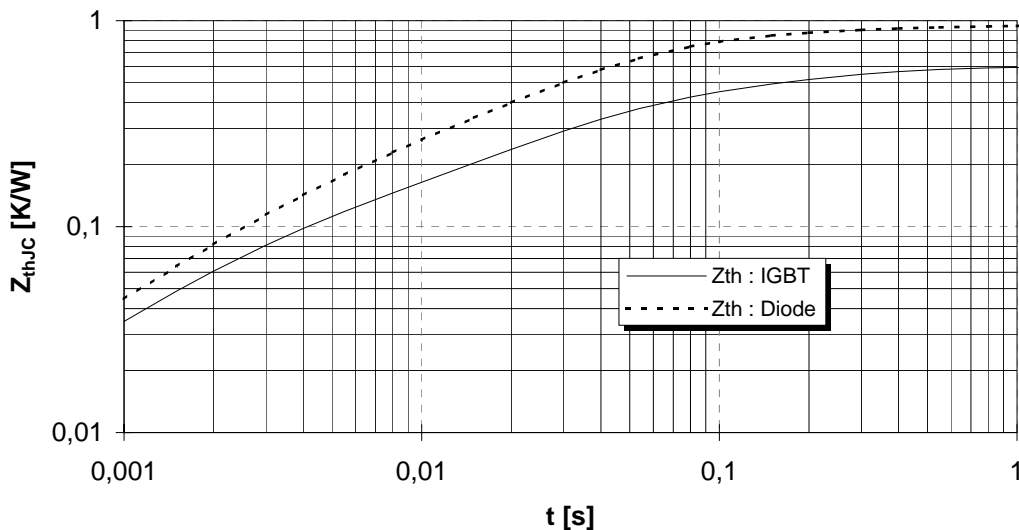
Schaltverluste (typisch)  
Switching losses (typical)

$E_{on} = f(R_G)$ ,  $E_{off} = f(R_G)$ ,  $E_{rec} = f(R_G)$   
 $V_{GE} = 15V$ ,  $I_C = 35A$ ,  $V_{CE} = 600V$ ,  $T_{vi} = 125^\circ C$



Transienter Wärmewiderstand  
Transient thermal impedance

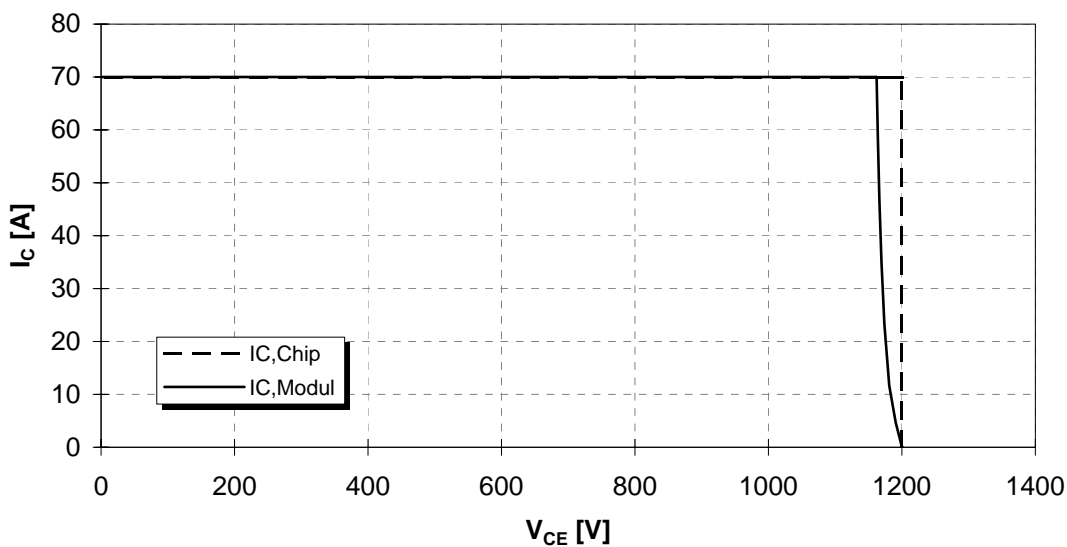
$$Z_{thJC} = f(t)$$



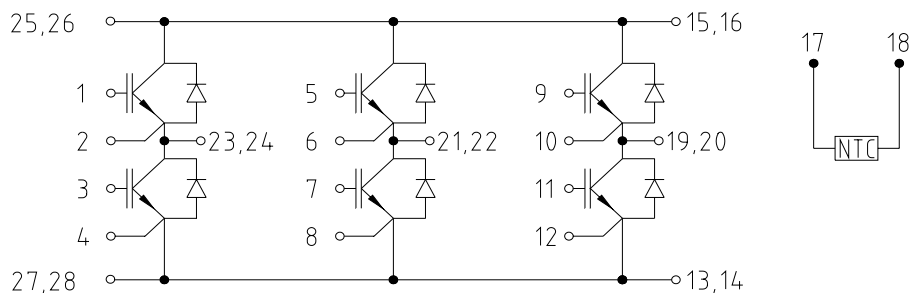
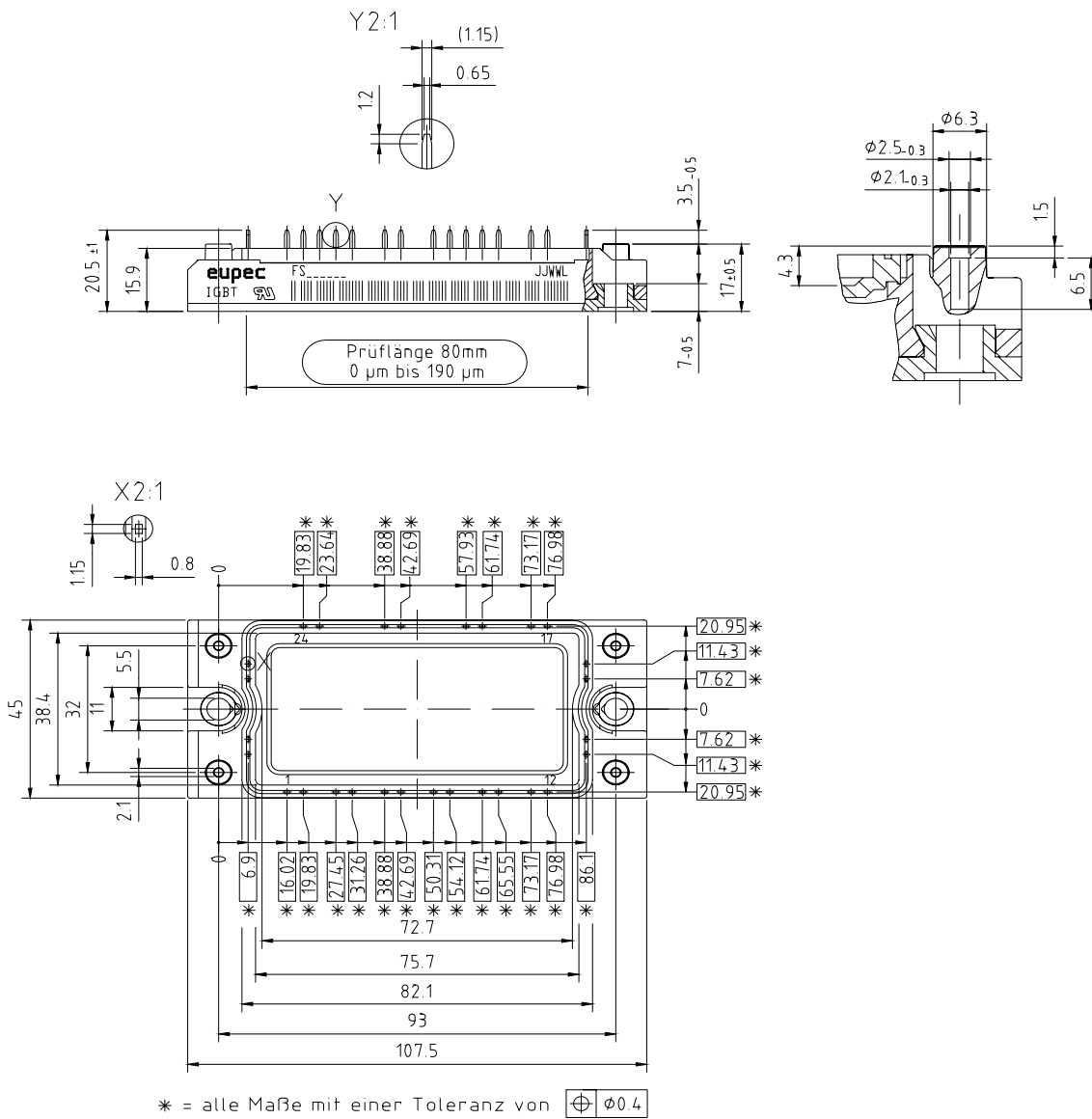
i	1	2	3	4
$r_i$ [K/W] : IGBT	6,769E-02	1,052E-01	2,709E-01	1,523E-01
$\tau_i$ [s] : IGBT	2,345E-03	2,820E-01	2,820E-02	1,128E-01
$r_i$ [K/W] : Diode	9,674E-02	6,249E-01	1,800E-01	5,701E-02
$\tau_i$ [s] : Diode	3,333E-03	3,429E-02	1,294E-01	7,662E-01

Sicherer Arbeitsbereich (RBSOA)  
Reverse bias safe operation area (RBSOA)

$$V_{GE}=15V, R_G=27\Omega, T_i=125^\circ C$$



Gehäusemaße / Schaltbild  
Package outline / Circuit diagram





Компания «Life Electronics» занимается поставками электронных компонентов импортного и отечественного производства от производителей и со складов крупных дистрибьюторов Европы, Америки и Азии.

С конца 2013 года компания активно расширяет линейку поставок компонентов по направлению коаксиальный кабель, кварцевые генераторы и конденсаторы (керамические, пленочные, электролитические), за счёт заключения дистрибьюторских договоров

Мы предлагаем:

- Конкурентоспособные цены и скидки постоянным клиентам.
- Специальные условия для постоянных клиентов.
- Подбор аналогов.
- Поставку компонентов в любых объемах, удовлетворяющих вашим потребностям.
- Приемлемые сроки поставки, возможна ускоренная поставка.
- Доставку товара в любую точку России и стран СНГ.
- Комплексную поставку.
- Работу по проектам и поставку образцов.
- Формирование склада под заказчика.
- Сертификаты соответствия на поставляемую продукцию (по желанию клиента).
- Тестирование поставляемой продукции.
- Поставку компонентов, требующих военную и космическую приемку.
- Входной контроль качества.
- Наличие сертификата ISO.

В составе нашей компании организован Конструкторский отдел, призванный помогать разработчикам, и инженерам.

Конструкторский отдел помогает осуществить:

- Регистрацию проекта у производителя компонентов.
- Техническую поддержку проекта.
- Защиту от снятия компонента с производства.
- Оценку стоимости проекта по компонентам.
- Изготовление тестовой платы монтаж и пусконаладочные работы.



Тел: +7 (812) 336 43 04 (многоканальный)

Email: [org@lifeelectronics.ru](mailto:org@lifeelectronics.ru)